В. В. Савуляк, к. т. н.; И. Ю. Малёваный

РАСШИРЕНИЕ ТЕХНОЛОГИЧЕСКИХ ВОЗМОЖНОСТЕЙ ПОЛУЧЕНИЯ ГНУТЫХ ПРОФИЛЕЙ ИЗ ЛИСТОВЫХ МАТЕРИАЛОВ С ПОКРЫТИЕМ

В статье проанализировано влияние параметров покрытия на напряженно-деформированное состояние листовой заготовки во время сгибания. Для уменьшения критического радиуса изгиба на внешнюю поверхность основы предлагается наносить покрытие с меньшей прочностью, чем у материала основы. Найдены оптимальные соотношения прочности основы и покрытия для достижения минимальных радиусов изгиба.

Ключевые слова: напряжение, деформации, листовой материал, сгибание, плоское напряженное состояние, покрытие.

Постановка задачи

Листовое штампование рассматривают как один из перспективных методов изготовления легких и прочных изделий сложной конфигурации. Это позволяет использовать конструкции, изготовленные на основе листовых заготовок, для решения широкого круга конструкторских задач [1]. Но, следует заметить, что в большинстве случаев применяют листовые материалы с покрытиями, позволяющими повысить коррозийную стойкость, обладающими лучшими антифрикционными свойствами и внешним видом, более высокой температуроустойчивостью и т. д. Сегодня существует много различных способов нанесения покрытий на разнообразные поверхности, при чем наиболее производительным и дешевым является нанесение на плоские и цилиндрические поверхности. В то же время, деформирование листовых материалов с покрытием недостаточно распространено из-за отсутствия методики подбора физико-механических свойств покрытия для обеспечения минимальных радиусов кривизны элементов изделия.

Оценка возможной предельной деформации материала в современной обработке давлением происходит с использованием безразмерных критериев, которые базируются на диаграммах предельных деформаций и параметрах напряженно-деформированного состояния изделий [2]. В общем случае напряженно-деформированное состояние деталей определяют уравнениями равновесия, связи, целостности среды и граничными условиями деформирования [3, 4].

Основными физико-механическими параметрами металла, которые определяют напряженно-деформированное состояние и возможность последующего деформирования, являются кривая текучести и поверхность предельных деформаций. Эти основные характеристики зависят от структуры материала, химического состава, термической обработки, скорости приложения и локализации и вида нагрузки. Из всего вышесказанного следует, что, управляя этими параметрами можно увеличивать и уменьшать предельные радиусы изгиба листовых заготовок для достижения нужного результата.

В этой работе проводится анализ влияния параметров кривой текучести покрытия на напряженно-деформированное состояние подложки во время формообразования регулярных профилей с криволинейными участками.

Напряженно-деформированное состояние листа с покрытием во время сгибания

Во время рабочего хода пуансона между поверхностями заготовки (основа + покрытие) и пуансона и матрицы возникают нормальные реакции и силы трения, которые для широкого

листа в процессе сгибания создают плоское напряженное состояние [3, 5, 6], то есть деформация $\varepsilon_z = 0$.

Считая толщину основы и покрытия постоянными и одинаковыми и допуская, что заготовка относительно пуансона не перемещается [6], можно считать напряжение в зоне контакта пуансона и основы равномерно распределенным.

Математическая модель процесса штампования базируется на уравнениях равновесия для плоского напряженного состояния, уравнениях связи и условии неразрывности, дополненными физическими уравнениями равновесия участка основы и покрытия, которые поддаются сгибанию (рис. 1). Для случая отсутствия на внешней поверхности листа контактных напряжений уравнения равновесия участка заготовки будут иметь вид

$$\begin{cases}
\sigma_{\rho_{1}}^{'} \cdot \sin \alpha \cdot r - \sigma_{\rho_{1}}^{"} \cdot \sin \alpha \cdot (r + s_{1}) + 2 \int_{r}^{r + s_{1}} \sigma_{\theta_{1}} d\rho \cdot \sin \alpha = 0, \\
\sigma_{\rho_{2}}^{'} \cdot \sin \alpha \cdot (r + s_{1}) + 2 \int_{r + s_{1}}^{r + s_{1} + s_{2}} \sigma_{\theta_{1}} d\rho \cdot \sin \alpha = 0,
\end{cases} \tag{1}$$

где $\sigma_{\theta 1}$, $\sigma_{\theta 2}$ — тангенциальные нормальные напряжения в основе и покрытии соответственно; $\sigma_{\rho 1}$, $\sigma_{\rho 2}$ — радиальные нормальные напряжения в основе и покрытии соответственно; $\sigma_{\rho 1}^{'}$ — радиальное нормальное напряжение в основе в зоне контакта основы и пуансона; $\sigma_{\rho 1}^{''}$, $\sigma_{\rho 2}^{'}$ — радиальные нормальные напряжения в зоне контакта основы и покрытия соответственно; α — угол изгиба, который имеет заготовка.

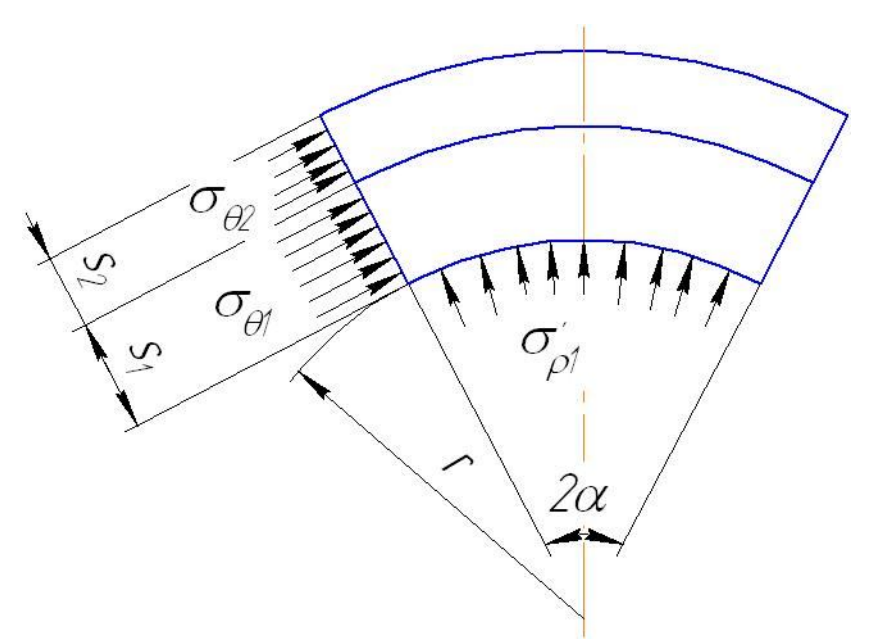


Рис. 1. Схематическое изображение элемента заготовки во время сгибания

В процессе сгибания в области, прилегающей к нейтральной поверхности, с радиусом $\rho_{\scriptscriptstyle H}$ располагается зона упругих деформаций. Расстояние от нейтральной поверхности к краю зоны Δ_{yn} упругих деформаций может быть рассчитано [3]

$$\Delta_{yn} = 2\rho_{\scriptscriptstyle H} \cdot \left(\frac{A}{E}\right)^{\frac{1}{1-n}},\tag{2}$$

где A и n — параметры кривой упрочнения материала; E — модуль упругости Юнга. Научные работы ВНТУ, 2012, № 2

Для диапазона изменения параметров кривой упрочнения A = 100 - 3000 МПа и n = 0 - 100

0,5, характерные для большинства конструкционных материалов, коэффициент $\left(\frac{A}{F}\right)^{\overline{1-n}}$ в

уравнении (2) изменяется в пределах от 0 до 0,015 (рис. 2). Для небольших радиусов изгиба, соизмеримых с толщиной листа, зоной упругих деформаций, можно пренебречь. В [7] показано, что радиальные и тангенциальные нормальные напряжения в зоне изгиба мало зависят от угла поворота сечения, поэтому можно считать, что тангенциальные нормальные напряжения имеют линейное распределение по толщине (для листов толщиной до 3 мм) и могут быть представлены в виде

$$\sigma_{\theta 1} = a_1 (\rho - \rho_{_H}),
\sigma_{\theta 2} = a_2 (\rho - \rho_{_H}),$$
(3)

где a_1 и a_2 – константы.

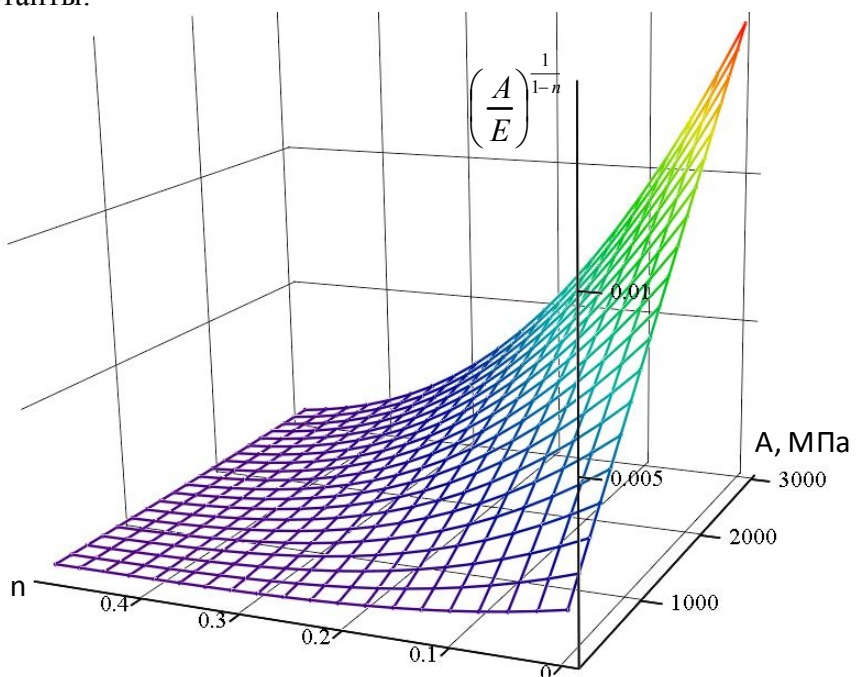


Рис. 2. Зависимость относительной ширины зоны упругой деформации стального листа от параметров кривой упрочнения A и n

При отсутствии разрывов на границе раздела покрытия и основы $\sigma_{\rho_1}^{"} = \sigma_{\rho_2}^{'}$. Преобразуя (1), получаем

$$\frac{\sigma_{\rho 1}^{'} \cdot r}{s_{1} \cdot s_{2}} + \frac{2}{s_{2}} \frac{\int_{r}^{r+s_{1}} \sigma_{\theta 1} d\rho}{s_{1}} + \frac{2}{s_{1}} \frac{\int_{r+s_{1}}^{r+s_{1}+s_{2}} \sigma_{\theta 2} d\rho}{s_{2}} = 0,$$
(4)

Сила в плоскости сечения, с которой пуансон действует на лист может быть представлена

$$P = \int_{0_1}^{\alpha} r \cdot \sigma_{\rho 1}^{'} \cdot \cos \theta d\theta - 2\sin \alpha \int_{r+s_1}^{r+s_1+s_2} \sigma_{\theta 2} d\rho - 2\sin \alpha \int_{r}^{r+s_{12}} \sigma_{\theta 1} d\rho.$$
 (5)

На основе предположения о равномерном распределении нормального радиального напряжения в зоне контакта листа и пуансона и из (4)

$$\sigma_{\rho 1}' = \frac{P}{3r \cdot \sin \alpha}.\tag{6}$$

Подставляя в (4) выражения (3) и (6) и преобразуя их, запишем

$$a_2 = -\frac{\frac{P}{3\sin\alpha} + 2a_1(0.5s_1^2 + r \cdot s_1 - \rho_u \cdot s_1)}{2(0.5s_2^2 + r \cdot s_2 + s_1 \cdot s_2 - \rho_u \cdot s_2)}.$$
 (7)

Поскольку, как отмечалось раньше, напряженное состояние плоское и контакт листа и пуансона во всех направлениях неподвижный, то на основании уравнений связи и совместимости деформаций в зоне контакта основы и пуансона получим

$$\sigma' = \sigma_z' = \sigma_{01}' \cdot f , \qquad (8)$$

$$\sigma'_{\rho 1} = -\sigma'_{\theta 1} + 2\sigma',\tag{9}$$

где f — коэффициент трения между листом и пуансоном; σ — гидростатическое давление в зоне контакта пуансона и заготовки.

Из (8) и (9) следует

$$a_1 = \frac{P \cdot (1 - 2f)}{3r \cdot \sin \alpha \cdot (r - \rho_u)}.$$
 (10)

В уравнении (10) неизвестной величиной является лишь радиус кривизны нейтральной поверхности. Для его определения в работе [8] используют выражение

$$\rho_{H} = r + K \cdot s \,, \tag{11}$$

где $K = \frac{t}{s}$ — константа, которая зависит от свойств кривой течения, радиуса кривизны внутренней поверхности листа и способа сгибания: t — расстояние от внутренней

внутренней поверхности листа и способа сгибания; t — расстояние от внутренней поверхности заготовки к нейтральной поверхности [8]. В [8] показано, что с увеличением прочности материала или радиуса r K-фактор увеличивается и изменяется в пределах от 0,33 до 0,5. Авторы [9] для r < 2s рекомендуют принимать коэффициент K = 0,33, а для r > 2s фактор K = 0,5. Однако в выражении (11) применяется толщина s однородного слоя металла, то есть для ее применения необходимо определить приведенную толщину покрытия s_{np} . Авторами предложено определять s_{np} на основе одинаковой интенсивности напряжений для покрытия и листа замещения

$$\int_{r+s_1}^{r+s_1+s_2} \sigma_{u2} d\rho = \int_{r+s_1}^{r+s_{np}} \sigma_{u1} d\rho , \qquad (12)$$

или

$$A_{2} \int_{r+s_{1}}^{r+s_{1}+s_{2}} \left(\ln \left(\frac{\rho}{\rho_{n}} \right) \right)^{n_{2}} d\rho = A_{1} \int_{r+s_{1}}^{r+s_{np}} \left(\ln \left(\frac{\rho}{\rho_{n}} \right) \right)^{n_{1}} d\rho , \qquad (13)$$

где $\sigma_u = Ae_u^n$ – интенсивность напряжений; $e_u = ln(\rho/\rho_H)$ – степень деформации; A_I и n_I –

параметры кривой течения материала основы; A_2 и n_2 – параметры кривой течения материала покрытия.

Решением уравнения (13) можно воспользоваться для определения $\rho_{\scriptscriptstyle H}$ из (11) или $\rho_{\scriptscriptstyle H} = \sqrt{r(r+s_1+s_{np})}$ [4] (r- радиус кривизны внутренней поверхности; $s_{np}-$ приведенная толщина покрытия; s_I- толщина основы).

Таким образом, на основе выражений (6), (7) и (10) и численного решения уравнения (13) получаем граничные условия для определения напряженно-деформированного состояния во время сгибания. Анализ (13) показывает, что покрытие более прочное, чем основа позволяет сместить радиус кривизны ко внешней поверхности и за счет этого уменьшить деформации растяжения, которые способствуют самому быстрому использованию ресурса пластичности.

Для плоского напряженного состояния интенсивность деформаций может быть рассчитана

$$\sigma_{u1} = A_1 \cdot \left(\ln \frac{\rho}{\rho_u} \right)^{n_1} = \frac{\sqrt{2}}{2} \sqrt{\left(\sigma_{\rho 1} - \sigma_{\theta 1} \right)^2 + \left(\sigma_{\theta 1} - \sigma_{z 1} \right)^2 + \left(\sigma_{z 1} - \sigma_{\rho 1} \right)^2 + \frac{3}{2} \tau_{\rho \theta 1}^2} . \tag{14}$$

Учитывая, что $\sigma_{z1} = \sigma_1 = \frac{\sigma_{\rho 1} + \sigma_{\theta 1}}{2}$ из (14), запишем

$$\tau_{\rho\theta 1} = \sqrt{\frac{4}{3} A_1^2 \left(\ln \frac{\rho}{\rho_{_{H}}} \right)^{2n_{_{1}}} - \left(\sigma_{\rho 1} - \sigma_{\theta 1} \right)^2} \ . \tag{15}$$

Из уравнений равновесия для плоского напряженного состояния после превращений можно записать

$$\sigma_{\rho 1} = a_1 \left(\frac{\rho}{2} - \rho_{_H} \right) - \int_{0}^{\theta} \left(\rho \cdot \frac{\partial \tau_{\rho \theta 1}}{\partial \rho} + 2\tau_{\rho \theta 1} \right) d\theta.$$
 (16)

Численное решение (16) с помощью программных средств позволяет определить напряженно-деформированное состояние заготовки в процессе деформирования и подобрать покрытие с параметрами кривой прочности, которые обеспечивают возможность получения минимальных радиусов кривизны.

Выводы

- 1. Представленная математическая модель формирования заготовок из листового материала с покрытием позволяет рассчитать напряженно-деформированное состояние в зонах листа, которые поддаются сгибанию.
- 2. Проведенный анализ показал, что подбор покрытия с определенными характеристиками кривой упрочнения позволяет влиять на величину компонентов тензора напряжений и, соответственно, на показатель напряженного состояния.

СПИСОК ЛИТЕРАТУРЫ

- 1. Тришевский О. И. Снижение металлоёмкости гнутых профилей за счёт деформационного упрочнения / О. И. Тришевский, Е. Г. Полстянкин, Р. Ю. Дебердеев // Сталь. 1988. № 8. С. 36 37.
- 2. Дель Г. Д. Критерий деформируемости металлов при обработке давлением / Г. Д. Дель, В. А. Огородников, В. Г. Нахайчук // Изв. вузов. Машиностроение. −1975. № 4. С. 135 140.
- 3. Лысов М. И. Теория и расчет процессов изготовления деталей методами гибки / М. И. Лысов. М.: Машиностроение, 1966. 236 с.
 - 4. Попов Е. А. Основы теории листовой штамповки / Е. А. Попов. М.: Машиностроение, 1977. 278 с.
- 5. Savuliak V. Modelling of the process of regular profiles stamping from sheet materials / V. Savuliak // Buletinul institutului politehnic din Iasi. 2011. –Tomul LVII (LXI). Fasc.4. P. 199 208.

- 6. Вплив тертя на процес штампування регулярних профілів з листових матеріалів заготовок [Електронний ресурс] / В. В. Савуляк // Наукові праці Вінницького національного технічного університету. 2011. № 3. Режим доступу до журн.: http://www.nbuv.gov.ua/e-journals/VNTU/2011_3/2011-3.files/uk/11vvstsm_ua.pdf.
- 7. Сивак І. О. Дослідження процесу виготовлення гофрованих / І. О. Сивак, В. В. Савуляк // Удосконалення процесів та обладнання обробки тиском в металургії і машинобудуванні. 2005. С. 287 290.
- 8. Pahole I. Bending of sheet metal of complicated shapes (for 90° angle and more) in combined tools / I. Pahole, S. Bonifarti, M. Ficko, B. Vaupotic, S. Kovacic, J. Balic // Journal of Achievements of Materials and Manufacturing Engineering. Vol. 16, Issue 1-2, 2006. P. 88-93.
- 9. Hakim S. Sultan Aljibori. Finite Element Analysis of Sheet Metal Forming Process / Hakim S. Sultan Aljibori, Abdel Magid Hamouda // European Journal of Scientific Research.. Vol.33, № 1. 2009. P. 57 69.

Савуляк Виктор Валерьевич – к. т. н., доцент кафедры технологии и автоматизации машиностроения.

Малёваный Игорь Юрьевич – студент.

Винницкий национальный технический университет.